



سنجش از دور

،  
ایران GIS



سنجش از دور و GIS ایران سال ششم، شماره یکم، بهار ۱۳۹۳  
Vol.6, No.1, Spring 2014 Iranian Remote Sensing & GIS

۱۰۲-۱۱۸

## تهیه نقشه دگرسانی در سامانه اپی ترمال مطرآباد، جنوب استان خراسان رضوی با استفاده از داده‌های دورسنجی سنجنده ASTER

محمدحسن احمدی<sup>۱</sup>، غلامحسین شمعانیان<sup>\*۲</sup>، شعبان شتابی<sup>۳</sup>

۱. گروه زمین‌شناسی، دانشکده علوم، دانشگاه گلستان

۲. گروه جنگل، دانشگاه علوم کشاورزی و منابع طبیعی گرگان

تاریخ پذیرش مقاله: ۱۳۹۳/۱۰/۱۴

تاریخ دریافت مقاله: ۱۳۹۱/۱۲/۱

### چکیده

سامانه اپی ترمال مطرآباد واقع در ۳۰ کیلومتری جنوب‌غرب بجستان در مجموعه‌ای از سنگ‌های آتشفسانی حدوداً ۵ کیلومتری واقع شده است. کانی‌سازی به صورت رگه‌ها، رگچه‌های نامنظم و برش‌های گرمابی نمایان می‌شود. دگرسانی گرمابی در اطراف رگه‌ها شکل می‌گیرد و شامل مجموعه‌های سیلیسی (۵-۳۰ متری رگه‌ها)، سریستی (۱۰-۵۰ متری رگه‌ها)، پروپیلیتی (۳۰-۵۰ متری رگه‌ها) و رسی است. در این مقاله، توزیع مکانی مجموعه‌های دگرسانی گرمابی با استفاده از داده‌های سنجنده آستر بررسی شده است. برای این منظور، روش‌های مختلف پردازش تصاویر از قبیل ترکیب رنگی کاذب، نسبت‌گیری باندی، آنالیز مؤلفه اصلی و طبقه‌بندی تصاویر آزمون شده‌اند. ترکیب رنگی (RGB) و ترکیب نسبتی (۴/۹، ۴/۸، ۴/۵) برای شناسایی مناطق دگرسانی مناسب تشخیص داده شدند. تفکیک مجموعه‌های دگرسانی و تهیه نقشه دگرسانی برپایه روش طبقه‌بندی نظارت شده انجام شده است. تلفیق یافته‌های زمین‌شناسی، کانی‌شناسی و دورسنجی نشانگر قابلیت روش نسبت‌گیری باندی و آنالیز مؤلفه اصلی در شناسایی مجموعه‌های دگرسانی منطقه مطالعه شده است.

**کلیدواژه‌ها:** اپی ترمال، دگرسانی گرمابی، سنجنده آستر، نسبت‌گیری باندی، آنالیز مؤلفه اصلی.

**۱- مقدمه**

مطالعات اغلب روی کانسرهای پورفیری با هاله‌های دگرسانی وسیع انجام شده است. در طیف‌های بازتابی که بعد هریک از سلول‌های تصویر حداقل ۱۵ متر است، طیف بازتابی برخی از کانی‌های دگرسانی حذف می‌شود و شناسایی آنها را با مشکل مواجه می‌سازد ( Tommaso & Rubinstein, 2007; Rowan et al., 2006).

این مشکل در هاله‌های دگرسانی کانسارهای اپی‌ترمال که در اغلب موارد عرض‌شان کمتر از حد تشخیص روش‌های دورسنجی است، مشاهده می‌شود و از موانع بارزسازی این هاله‌ها در مطالعات دورسنجی به‌شمار می‌آید.

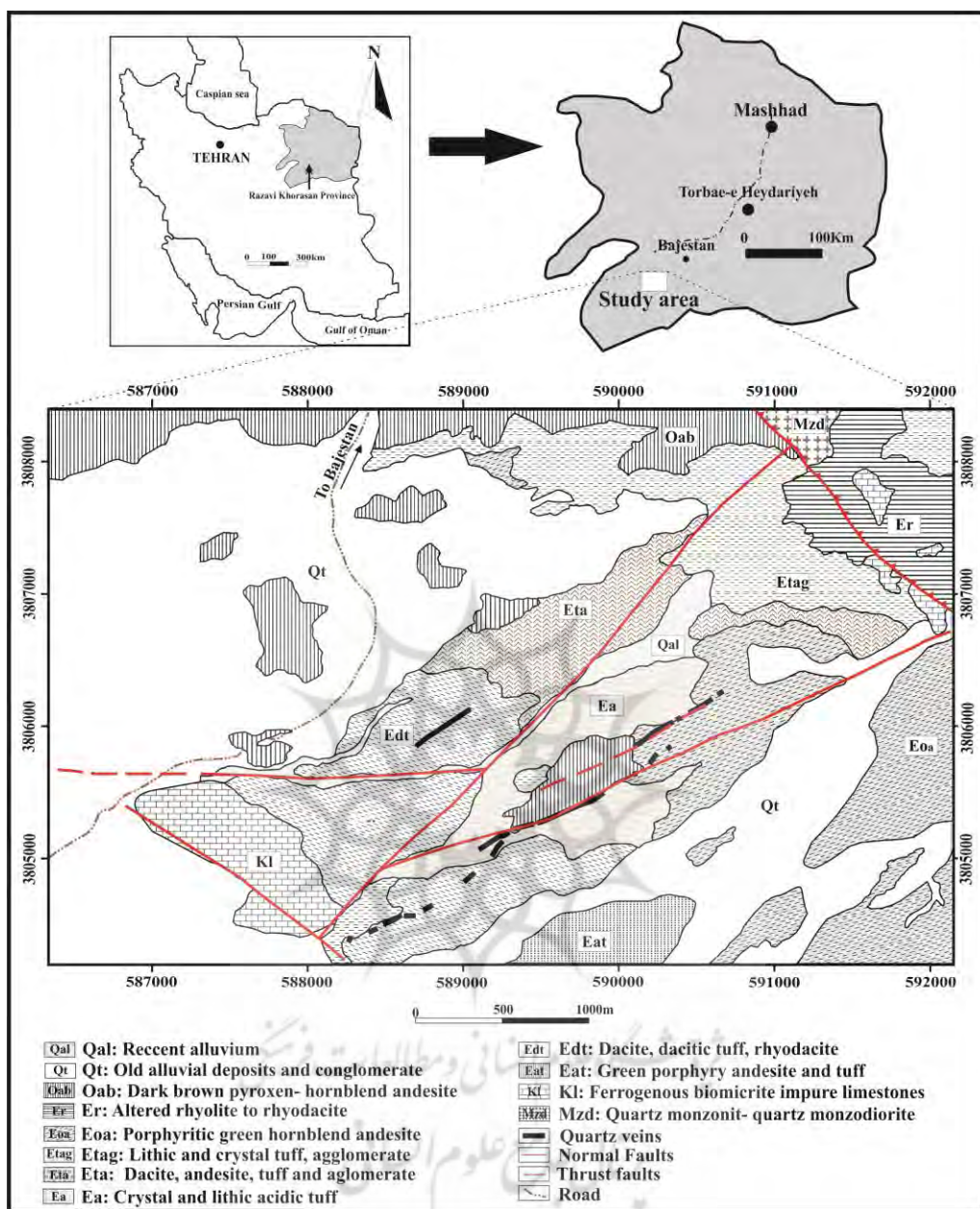
در پژوهش حاضر کوشش شده است با استفاده از تصاویر چندطیفی آستر و به‌کارگیری روش‌های مختلف پردازش تصاویر، افزون بر تفکیک و بهنگشه درآوردن مجموعه‌های دگرسانی سامانه اپی‌ترمال مطرآباد واقع در ۳۰ کیلومتری جنوب‌غرب شهرستان بجستان (شکل ۱)، قابلیت هریک از این روش‌ها آزمون شود و انواع مناسب معرفی گردد. سامانه اپی‌ترمال مطرآباد با موقعیت جغرافیایی  $57^{\circ}58'$  طول شرقی و  $34^{\circ}23'$  عرض شمالی در بخش شمالی بلوک لوت واقع شده است. برای دسترسی به منطقه می‌توان از جاده آسفالت مشهد - تربت حیدریه - بجستان و سپس جاده بجستان به ابوالخازن استفاده کرد. مطالعات قبلی در سامانه مطرآباد به‌طور عمده شامل تهیه نقشه زمین‌شناسی ۱/۱۰۰۰۰۰ طاهرآباد (Karimpour et al., 2005)، اکتشافات زمین‌شیمیایی ناحیه‌ای به‌روش رسوب رودخانه‌ای (Azmi & safari, 1383)، اکتشافات زمین‌شیمیایی نیمه‌تفصیلی (Azmi & Safari, 1906) و مطالعات کانی‌شناسی و دگرسانی گرمایی (Ahmadi, 1911) بوده است.

مطالعات دورسنجی بر پایه اندازه‌گیری بازتابشی پدیده‌ها از راه دور بنا شده است و می‌تواند بازشناسی عوارض و پدیده‌های روی زمین را بدون تماس مستقیم با آنها انجام دهد. بر پایه این مطالعات می‌توان مجموعه‌های کانی‌شناسی و سنگی گوناگون را از یکدیگر تفکیک کرد (Azizi et al., 2010; Bedini, 2011) زمین‌شناسی و اکتشافی موردنیاز عملیات اکتشاف را در کوتاه‌ترین زمان ممکن فراهم آورد. بازشناسی مناطق دگرسانی به‌دلیل ارتباط زمانی و مکانی با فرایندهای کانی‌سازی و سهولت بارزسازی به‌وسیله روش‌های دورسنجی، اهمیت ویژه‌ای دارد (Galvao et al., 2005). از این‌رو، تهیه نقشه‌های دگرسانی از کاربردهای اصلی مطالعات دورسنجی به‌شمار می‌آید ( Massomi & Ranjbar, 2011).

امروزه، تصاویر سنجنده آستر<sup>۱</sup> (پرتوسنج حرارتی تابشی و بازتابی فضایبرد پیشرفته) گرفته شده از ماهواره ترا با داشتن ۱۴ باند طیفی، به‌ویژه وجود ۶ باند در فروسرخ طول موج کوتاه<sup>۲</sup> (SWIR)، امکان بازشناسی مناطق دگرسانی با دقت بالا را فراهم آورده است (Sojdehei et al., 1907) سنجنده که با نام مرئی و فروسرخ نزدیک<sup>۳</sup> (VNIR) شناخته می‌شوند، در طول موج  $0.52-0.86\text{ }\mu\text{m}$  با قدرت تفکیک مکانی ۱۵ متر دریافت می‌شوند. شش باند طیفی دوم، موسوم به تصاویر فروسرخ با طول موج کوتاه در طول موج  $0.43-0.66\text{ }\mu\text{m}$  با قدرت تفکیک ۳۰ متر و پنج باند سوم، معروف به تصاویر فروسرخ با طول موج  $0.8-1.25\text{ }\mu\text{m}$  در طول موج  $0.85-1.11\text{ }\mu\text{m}$  با قدرت تفکیک مکانی ۹۰ متر، دریافت می‌شوند (Abrams et al., 1983).

در سال‌های اخیر پژوهشگران متعددی در ایران و جهان (برای مثال Dehghani et al., 2004; Yousefan et al., 2010; Azizi et al., 2010) از داده‌های ماهواره‌ای SWIR و باندهای TM و ETM+ سنجنده آستر به منظور بارزسازی مناطق دگرسان استفاده کرده‌اند. این

- 
- 1.ASTER (Advanced Spaceborne Thermal Emission and Reflection Radiometer)
  - 2.Short-Wave Infrared Radiometric
  - 3.Visible and Near  $\text{^{\circ}}$  Infrared Radiometric
  - 4.Thermal Infrared Radiometric



شکل ۱. نقشه زمین‌شناسی ساده شده سامانه اپی ترمال منطقه مطالعه شده

منبع: با تغییرات از عزمی و هادی‌زاده، ۱۳۸۸

با استفاده از دستگاه موقعیت‌یاب<sup>۱</sup> (GPS) گارمین مدل 76CSx ثبت شد. در بررسی‌های آزمایشگاهی، همه نمونه‌ها پس از آماده‌سازی، به روش‌های مرسوم میکروسکوپی از نظر بافتی و کانی‌شناسی مطالعه و

1.Global Positioning System

## ۲- مواد و روش‌ها

برای انجام پژوهش حاضر مطالعات در سه بخش صحرایی، آزمایشگاهی و دورسنجی انجام گرفت (شکل ۲). در بررسی‌های صحرایی، کلیه واحدهای سنگی تفکیک شدند و از واحدهای مختلف و مناطق دگرسانی نمونه‌برداری شد. موقعیت جغرافیایی نمونه‌ها

پانوراماتیک، بی ثباتی سکوها و خطای تجهیزات (Abdi et al., 2010)، دچار خطای هندسی زیادی می شوند که نیاز به تصحیحات هندسی به روش های مختلف دارند. این تصحیحات در پژوهش حاضر به روش نقاط کنترل زمینی و با استفاده از نقاط برداشت شده طی بررسی های صحرایی و نقشه توپوگرافی ۱:۵۰۰۰۰ انجام شدند.

تصحیحات اتمسفری با توجه به قرارگیری منطقه مطالعه شده در بخش شمالی بلوک لوٹ وجود آب و هوای خشک و پوشش گیاهی پراکنده در منطقه، به روش واسنجی بازتاب متوسط نسبی داخلی آنجام شد (Abdi et al., 2010). در این حالت مقادیر عددی هر سلول تصویر به عنوان بازتاب سطحی مربوط به هر پدیده (Tommaso and Rubinstein, 2007) در نظر گرفته شد.

بررسی شدند. کانی های رسی و سایر کانی های مجھول، به روش پراش پرتو ایکس (XRD) و با استفاده از دستگاه دیفرکتومتر فیلیپس مدل PW1800 متعلق به شرکت کانسaran بینالود شناسایی شدند.

انجام مطالعات دورسنجی نیازمند آماده سازی تصاویر ماهواره ای و اعمال برخی تصحیحات روی آنهاست. به منظور مطالعات دورسنجی و بارز سازی مناطق دگرسانی، از داده های تصاویر ماهواره ای آستر که در سال ۲۰۰۶ تصویربرداری شده و نرم افزارهای ENVI، PCI Geomatica، EDRISI استفاده شد. ابتدا، به منظور مرمت تصاویر که بر اثر خطای ابزار اسکن کننده یا اشتباہ در انتقال، ثبت و نسخه برداری باعث بروز خطاهای گمشده<sup>۱</sup> در تصاویر می شود، بررسی های اولیه برای انجام تصحیحات اطلاعاتی آنجام شد. داده های ماهواره ای به دلیل اینها و چرخش زمین، ناهمواری های سطحی، ارتفاع سنجنده، انحراف



شکل ۲. روند نمای ساده شده مراحل انجام کار در این تحقیق

- 1.Missline
- 2.Calibration
- 3.Internal average relative reflectance
- 4.Digital number

صحراي و همخوانی امتداد رگهها با گسل‌ها نقش کنترل کننده‌های ساختاري در توزيع مکاني رگهها را نشان می‌دهند. کانی‌شناسی کانسنگ به طور عمده شامل پیريت، گالن، اسفالریت، کالکوپیریت، کوارتز و آمیتیست است. کوولیت، اکسیدها و هیدروکسیدهای آهن، سروزیت و مالاکیت از مهم‌ترین محصولات فرایندهای برون‌زاد هستند. شواهد صحراي و همراهی‌های کانی‌شناسی و بافتی (Ahmadi, 2011) چهار مرحله کانی‌سازی را در توالي پاراژنزی اين سامانه شناسايي کردند.

### ۲-۳- دگرسانی گرمابی

مطالعات پتروگرافی و کانی‌شناسی در سامانه مطرآباد، نشان‌دهنده دگرسانی گرمابی به دو صورت جانشينی کانی‌های قبلی و نهشت مستقيمه در فضاهاي خالي و شکستگی‌هاست. کوارتز، آدولاريا، سريسيت، ايليت، كلريت، اپيدوت، كلسيت و کاٹولينيت از مهم‌ترین محصولات دگرسانی گرمابی هستند. بررسی مجموعه‌های دگرسانی دلالت بر دگرسانی‌های سيلیسي، سريسيتی، پروپيلیتی و رسی در سامانه مطالعه‌شده دارد که با حضور کوارتز، کلسدونی، آدولاريا و پيريت برای دگرسانی سيلیسي ( $5 <$  متري رگهها)، سريسيت، ايليت و کوارتز برای دگرسانی سريسيتی ( $10 <$  متري رگهها)، اپيدوت، كلريت، كلسيت و پيريت برای دگرسانی پروپيلیتی ( $30-50 <$  متري رگهها)، کاٹولينيت و ايليت برای دگرسانی رسی مشخص می‌شوند (شکل ۳). وجود کاٹولينيت در مجموعه‌های دگرسانی سامانه مطرآباد با استفاده از روش XRD بررسی شد. اگرچه اين کانی در برخی از نيميرخ‌هاي مطالعه‌شده در هاله‌های چند سانتي‌متري در مجاورت بلافصل رگهها مشاهده شد، اما عمدتاً در بخش‌های سطحي منطقه گسترش داشته و جانشين سنگ‌های آتشفسانی فلسيک به‌ويژه توف‌های داسيتي شده است. براساس شواهد صحراي و کانی‌شناسی، تشکيل کاٹولينيت و گسترش دگرسانی رسی در اين سامانه عمدتاً ناشی از عملکرد بخارات داغ مي‌باشد در نواحی کم‌عمق و حاشيه‌ای سامانه گرمابی است (Ahmadi, 2011).

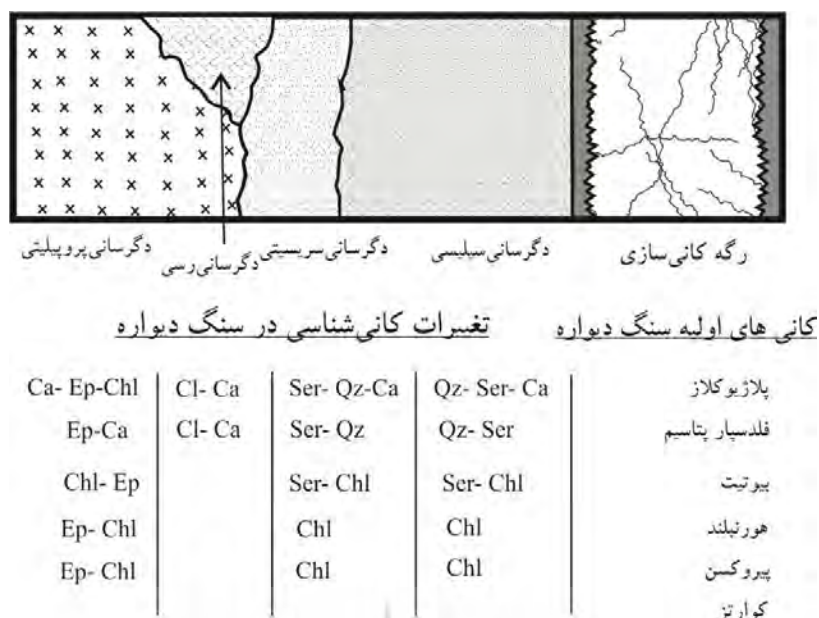
برای پردازش داده‌ها و دستيابی به نتایج مطلوب، پس از انجام تصحيحات هندسی و اتمسفری، همسان‌سازی ابعاد روی باندهای VNIR با درجه وضوح ۱۵ متر و باندهای SWIR با درجه وضوح ۳۰ متر انجام گرفت و ۹ باند با ابعاد سلوی ۳۰ متر به دست آمد. برای شناسايي گستره مکاني مجموعه‌های دگرسانی از روش‌های ترکيب رنگي کاذب، فرایند نسبت‌گيري و ترکيب باندي، آناليز مؤلفه اصلی و روش طبقه‌بندي تصاویر استفاده شد و قابلیت هریک از آنها ارزیابی گردید. سرانجام با تلفيق یافته‌های صحراي، آزمایشگاهي و دورسنجي، نقشه دگرسانی منطقه تهیه شد.

## ۳- بحث و نتایج

### ۳-۱- زمين‌شناسي و کانی‌سازی

سامانه اپی ترمال مطرآباد بخشی از ورقه زمين‌شناسي طاهرآباد (Karimpour et al., 2005) است. فعالیت‌های ماگمايی در اين ورقه به طور عمده شامل مجموعه‌ای از سنگ‌های آتشفسانی و نفوذی متوسط تا فلسيک مشتمل بر سنگ‌های آذرآواری و آتشفسانی تراکيتي و تراکي آندزيتی، توده‌های نيمه آتشفسانی داسيتي و ريدواسيتی و توده‌های نفوذی ديوريتي تا گراننيتی است که ماهيت کلسيمي-قلبي دارند و بر اثر فرورانش نامتقارن پوسته اقيانوسی به زيربلوك‌های لوت و افغان تشکيل شده‌اند (Arjmandzadeh et al., 2010). سنگ‌های رخمنون يافته در منطقه مطالعه‌شده عمدتاً شامل مجموعه‌ای از گدازه‌های آندزيتی و سنگ‌های آذرآواری (Eat) و هورنبلند آندزيت (EoA)، توده‌های نيمه آتشفسانی داسيتي و ريدواسيتی (Edt) و ريليت‌ها و توف‌های داسيتي (Ea) هستند (شکل ۱). از بين اين واحدها، واحدهای EoA و Edt و Ea ميزبان رگه‌های کانی‌سازی‌اند (Ahmadi, 2011).

کانی‌سازی در سامانه مطرآباد از نوع شکافه‌پرکن است که به صورت برش‌های گرمابی و رگه‌های کوارتزی با گسترش طولي حدود ۱۵۰۰ متر و روند عمومي شمال‌شرقی-جنوب‌غربی تظاهر دارد. بررسی‌های



شکل ۳. مجموعه‌های دگرسانی گرمابی در اطراف رگه‌های کانی‌سازی و تغییر در کانی‌های اولیه سنگ‌دیواره (بدون مقیاس). اختصارات: Cl، کلسیت = Ca، کلریت = Chl، اپیدوت = Ep، کانی‌های رسی = Qz، سریسیت = Ser.

ترکیب باندی (Ninomiya, 2003) استفاده شد و کانی‌های هیدروکسیلیدار (OHI)، کاولینیت (KLI)، آلونیت (ALI) و کلسیت (CLI) بر مبنای ترکیب باندی زیر از یکدیگر تفکیک شدند.

$$OHI = (\text{band}7/\text{band}6)^* (\text{band}4/\text{band}6)$$

$$KLI = (\text{band}4/\text{band}5)^* (\text{band}8/\text{band}6)$$

$$ALI = (\text{band}7/\text{band}5)^* (\text{band}7/\text{band}8)$$

$$CLI = (\text{band}6/\text{band}8)^* (\text{band}9/\text{band}8)$$

به منظور انتخاب مؤلفه مناسب برای هریک از کانی‌های شاخص مجموعه‌های دگرسانی، باید افزون بر بارگذاری سایر باندها، به تفاوت بین مقادیر بارگذاری بین باندهای با بیشترین بازتاب و بیشترین جذب توجه شود. برای این منظور از نشانه‌های طیفی<sup>۱</sup> تهیه شده در سازمان زمین‌شناسی امریکا (USGS) موجود در نرم‌افزارهای IDRISI و ENVI استفاده شد (شکل ۴).

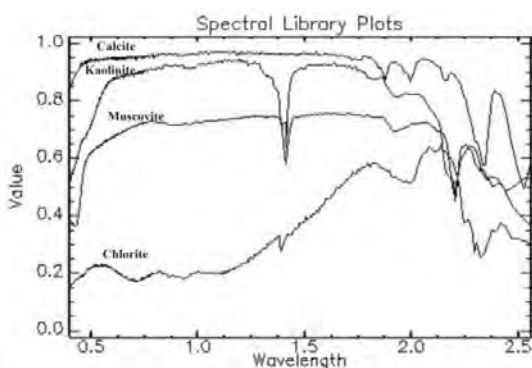
#### ۴- پردازش تصاویر و استخراج گستره مکانی دگرسانی‌ها

##### ۴-۱- نسبت‌گیری و ترکیب باندی

نسبت‌گیری‌های طیفی یکی از روش‌های رایج در پردازش داده‌ها و بارزسازی انواع پدیده‌هاست که بر حذف مقادیر ثابت تشعشع در باندها و شدت‌بخشی اختلافات طیفی بین پدیده‌ها استوار است (Zhang et al., 2007). در اغلب موارد، تصاویر حاصل از نسبت‌گیری باندی همخوانی آشکاری با تغییرات کانی‌شناسی و سنگ‌شناسی نشان می‌دهند. این روش با کاهش آثار منفی عوامل نامناسب که اغلب در همه باندها با شدت‌های متفاوت وجود دارد، سبب بارزسازی عوارض خاص در داده‌های چندطیفی می‌شود (Gupta, 2003). با دراختیارداشتن اطلاعات کافی از خصوصیات طیفی پدیده مطالعه شده می‌توان پدیده‌های گوناگونی از قبیل واحدهای سنگی و مناطق دگرسانی را از یکدیگر تفکیک کرد.

برای تفکیک مجموعه‌های دگرسانی و تعیین گستره مکانی آنها، علاوه بر نسبت‌گیری باندی از روش

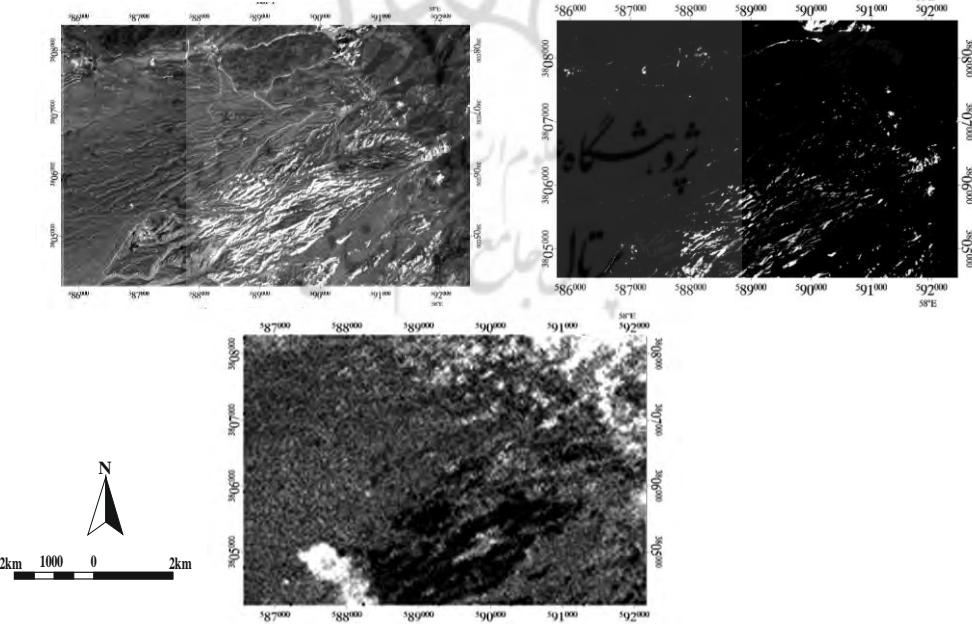
1. Spectral Library



شکل ۴. نمودار رفتار طیفی کانی های مسکویت، کاولینیت، کلریت و کلسیت در طول موج های مختلف موجود در کتابخانه USGS به عنوان مثال، برای کانی کاولینیت بیشترین جذب در باند ۴ و بیشترین جذب در طول موج باندهای ۶ و ۸ مشاهده می شود.

توجه به میزان جذب و بازتاب کانی های رسی به ویژه کاولینیت در باندهای ۵ و ۷، از نسبت باندی ۵ به ۷ برای بارزسازی دگرسانی رسی استفاده شد. بارزسازی کلسیت و اپیدوت با استفاده از نسبت های باندی ۶ به ۸ برای کلسیت و ۹ به ۸ برای اپیدوت انجام گرفت. نتایج حاصل از این نسبت گیری ها نشان از عدم کارایی نسبت گیری ساده باندی برای بارزسازی کاولینیت و کلسیت در منطقه مطالعه شده دارد. به این ترتیب، از شاخص های KLI و CLI برای بارزسازی و تعیین گستره مکانی این کانی ها استفاده شد (شکل ۵- ب،ج).

بررسی های اولیه نشان دادند که اکسیدهای آهن و کلریت به ترتیب در باندهای ۴ و ۵ دارای بیشترین بازتاب و به ترتیب در باندهای ۳ و ۸ دارای بیشترین جذب اند. بنابراین، بارزسازی و نمایش اکسیدهای آهن، و کلریت به ترتیب با استفاده از نسبت باندی ۴ به ۳ و ۵ به ۸ انجام گرفت. به دلیل گسترش نسبتاً کم اکسیدهای آهن تصویر واضحی از گستره مکانی این نوع دگرسانی به دست نیامد، ولی کانی کلریت به دلیل رخنمون وسیع سنگ های آذرین حدواتر و فراوانی کلریت در این سنگ ها بارزسازی شد (شکل ۵- الف). با



شکل ۵. بارزسازی دگرسانی های پروپیلیتی (الف)، رسی (ب)، کربناتی (ج) برپایه روش نسبت گیری باندی و شاخص های OHI، KLI، ALI و CLI. کلیه دگرسانی ها بهرنگ روشن بارز شده اند.

## ۲-۴- ترکیب رنگی کاذب

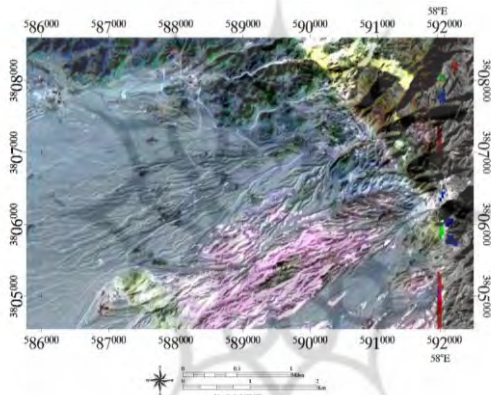
شاخص بهینه بالاتر باشد، ترکیب رنگی کاذب باندهای سه گانه برای تفکیک مناسب‌تر است (Yousefan et al., 2010). در منطقه مطالعه شده، از ترکیب رنگی کاذب بر پایه باندهای RGB (864) و ترکیب نسبتی (4/5، 4/8، 4/9) استفاده شد؛ که کارایی خوبی در تفکیک مناطق دگرسان از غیردگرسان و آبرفت‌های عهد حاضر دارد (شکل ۶).

در ترکیب رنگی، به علت بازتاب بالای کانی‌های هیدروکسیل‌دار در باند ۴ نسبت به باندهای ۶ و ۸، پیکسل‌های تصویری دگرسانی پروپیلیتی رنگ سبز تیره و دگرسانی‌های سریسیتی و رسی به رنگ صورتی تا زرد مشخص می‌شود (شکل ۷).

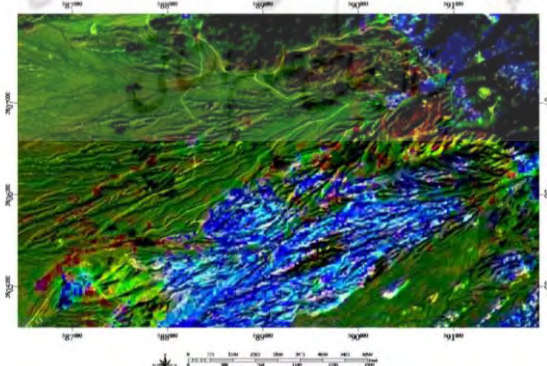
رنگ‌ها اطلاعات بصری و مفهومی فراوانی را در اختیار کاربران دورسنجی قرار می‌دهند. برای این منظور می‌توان از ترکیب رنگی بین باندهای با کمترین همبستگی استفاده کرد که به روش ترکیب رنگی کاذب انجام می‌شود. برای تعیین بهترین ترکیب رنگی می‌توان از فاکتور شاخص بهینه<sup>۱</sup> (OIF) استفاده کرد (رابطه ۱):

$$\text{OIF} = \frac{\sum_{k=1}^3 S_k}{\sum_{j=1}^r r_j} \quad \text{رابطه (۱)}$$

که در آن،  $S_k$  انحراف معیار باند K و  $r_j$  ضریب همبستگی دو باند از ترکیب سه باند است. هرچه مقدار



شکل ۶. ترکیب رنگی (RGB 864) داده‌های Aster، کانی‌های ناشی از دگرسانی‌های رسی و سریسیتی به رنگ صورتی و دگرسانی پروپیلیتی به رنگ سبز تیره مشاهده می‌شوند.



شکل ۷. ترکیب نسبتی (4/5، 4/8، 4/9) برای بارزسازی مناطق دگرسان از غیردگرسان. مناطق دگرسان شده با رنگ آبی و مناطق غیردگرسان با رنگ سبز بارز شده‌اند.

1.Optimum index factor

چندطیفی در دستگاه مختصات جدید صورت می‌گیرد. برمنای این روش، نخستین مؤلفه اصلی (PCI)، دارای بیشترین درصد واریانس کلی تصویر است. سایر مؤلفه‌های (PC<sub>2</sub>, PC<sub>3</sub>، PC<sub>4</sub>)، به ترتیب حاوی درصد کمتری از واریانس ارزش‌های رقومی تصویرند (Sabins, 1999). از طرفی، برخی پدیده‌های نادر که فراوانی کمتری دارند در مؤلفه‌های بعدی به نمایش درمی‌آیند. با انجام روش آنالیز مؤلفه اصلی افزون بر ایجاد تصاویر، اطلاعاتی درباره آماره‌های هریک از مؤلفه‌ها به دست آمد و همبستگی هریک از مؤلفه‌ها با باندهای تصاویر محاسبه شد (جدول ۱).

### ۳-۴- آنالیز مؤلفه‌های اصلی

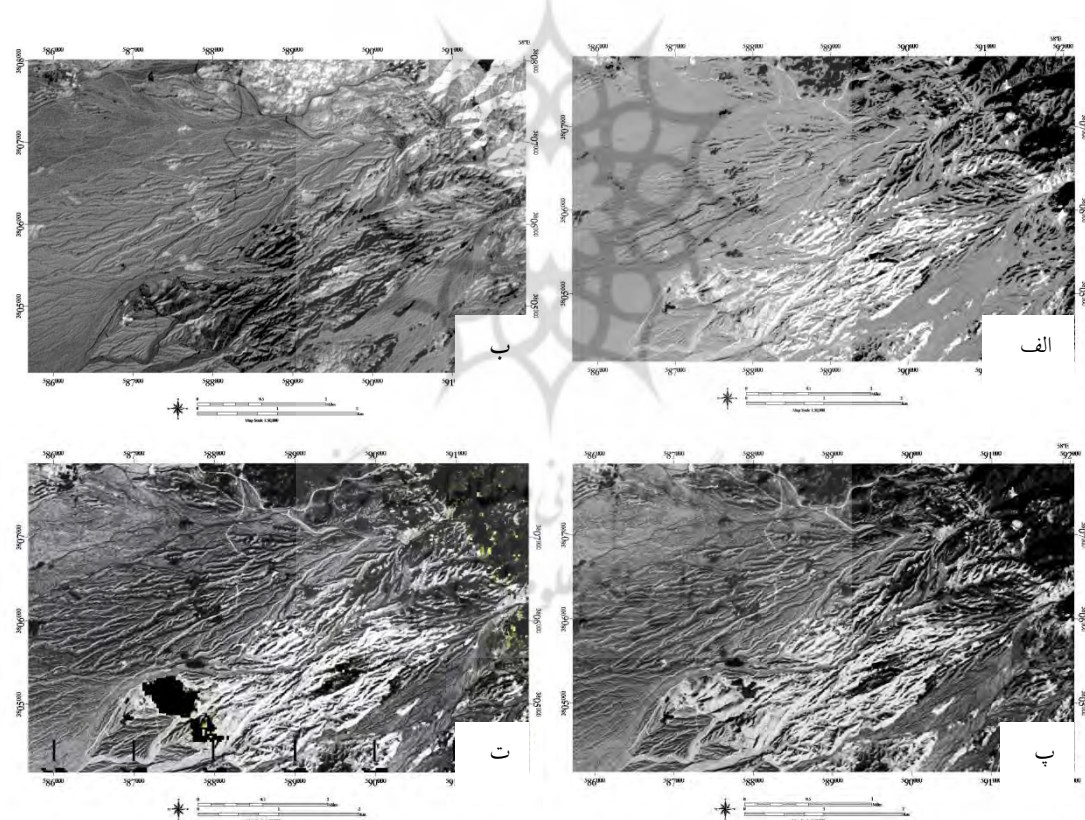
باندهای تصویر آستر در مناطقی با پدیده‌های همگن، همبستگی زیادی با یکدیگر دارند. در این شرایط، تصاویر ایجادشده از داده‌های رقومی ناشی از طول موج باندهای مختلف، اغلب شبیه به یکدیگر به نظر می‌رسند و اساساً اطلاعات مشابهی را منتقل می‌کنند. این تشابه و ارتباط باندها با یکدیگر باعث به وجود آمدن اطلاعات اضافی می‌شود. اگر این داده‌های اضافی کاهش یابند، مقدار داده‌هایی که برای توصیف تصاویر چندطیفی نیاز است، به صورت فشرده درمی‌آیند (Ranjbar, 2010). آنالیز مؤلفه‌های اصلی، روشی برای حذف یا کاهش داده‌های زائد است که با فشرده کردن مجموعه داده‌های

جدول ۱. ضرایب مربوط به سهم اطلاعات انتقالی هریک از باندها برای کانی‌های کائولینیت، کلریت، مسکویت و اکسیدهای آهن.  
مؤلفه‌های دارای بیشترین اختلاف با رنگ خاکستری مشخص شده‌اند.

مؤلفه‌های اصلی	باند ۱	باند ۶	باند ۷	باند ۹
PC1	-۰/۲۹۶۲۶۲	-۰/۵۴۴۳۷۶	-۰/۵۶۲۲۸۵	-۰/۵۴۷۴۶۶
PC2	-۰/۹۵۵۰۶۷	-۰/۱۷۵۷۲۹	-۰/۱۷۳۵۱۲	-۰/۱۶۳۸۹۰
PC3	-۰/۰۰۸۶۶۱	-۰/۷۱۴۵۴۹	-۰/۰۱۵۴۲۴	-۰/۶۹۹۳۶۲
PC4	-۰/۰۰۹۰۸	-۰/۰۴۰۲۷۳	-۰/۰۸۰۳۸۸	-۰/۴۲۹۳۱۸
مؤلفه‌های اصلی	باند ۱	باند ۵	باند ۷	باند ۸
PC1	-۰/۲۹۰۵۰۲	-۰/۵۳۲۱۷۱	-۰/۰۵۱۹۱۴	-۰/۵۷۱۶۰۱
PC2	-۰/۹۵۶۸۵۶	-۰/۱۶۴۱۰۲	-۰/۱۷۰۵۲۵	-۰/۱۶۸۵۷۷
PC3	-۰/۰۰۵۳۰۷	-۰/۸۵۵۶۶۷	-۰/۰۱۳۳۴۵۸	-۰/۷۴۳۱۴۳
PC4	-۰/۰۰۲۶۴۲	-۰/۰۵۰۸۸۸۲	-۰/۰۸۰۲۹۶	-۰/۰۳۰۴۲۹۰
مؤلفه‌های اصلی	باند ۱	باند ۵	باند ۶	باند ۸
PC1	-۰/۲۸۸۲۲۳	-۰/۰۵۳۰۶۱۴	-۰/۰۵۶۱۰۲۸	-۰/۵۶۶۲۳۷
PC2	-۰/۹۵۷۲۳۴	-۰/۱۶۹۳۸۷	-۰/۱۸۰۹۳۱	-۰/۱۴۹۲۴۹
PC3	-۰/۰۲۵۰۰۵۳	-۰/۰۴۱۸۲۵۰	-۰/۰۴۰۹۴۸۵	-۰/۰۸۱۰۴۰۸
PC4	-۰/۰۰۱۷۷۱	-۰/۰۱۷۵۱۲	-۰/۰۶۹۶۳۰۰	-۰/۰۱۸۴۲۳
مؤلفه‌های اصلی	باند ۱	باند ۴	باند ۶	باند ۷
PC1	-۰/۲۹۱۳۵۳	-۰/۰۵۳۰۳۱۹	-۰/۰۵۷۰۰۷۳	-۰/۰۵۵۷۸۱
PC2	-۰/۹۵۴۹۹۲	-۰/۰۲۰۸۵۲۰	-۰/۰۱۵۹۷۵۵	-۰/۰۱۳۷۷۹۸
PC3	-۰/۰۵۱۴۵	-۰/۰۱۸۹۷۵	-۰/۰۳۴۹۹۴۹	-۰/۰۴۵۱۴۱۴
PC4	-۰/۰۰۷۹۴۸	-۰/۰۶۷۵۴۱	-۰/۰۷۲۵۹۶۹	-۰/۰۶۸۴۳۵۷
مؤلفه‌های اصلی	باند ۱	باند ۲	باند ۳	باند ۴
PC1	-۰/۳۷۰۴۳۲	-۰/۴۷۲۹۶۸	-۰/۰۶۰۸۱۸۲	-۰/۰۵۱۸۸۴۱
PC2	-۰/۲۴۹۲۵۵	-۰/۰۲۹۶۸۸۳	-۰/۰۳۴۶۱۵۱	-۰/۰۸۵۴۳۴۹
PC3	-۰/۷۴۴۸۳۷	-۰/۰۲۰۱۱۹۱	-۰/۰۰۳۵۴۹۷	-۰/۰۲۹۷۳۸
PC4	-۰/۰۴۹۵۸۵۳	-۰/۰۸۰۴۷۸۸	-۰/۰۳۲۶۲۸۴	-۰/۰۰۲۸۱۳

کانی‌ها محاسبه و مناسب‌ترین مؤلفه برای نمایش دگرسانی‌های مرتبط با این کانی‌ها انتخاب شد (جدول ۱). پس از محاسبه ضرایب مربوط به بارگذاری آنالیز مؤلفه اصلی و انتخاب بهترین مؤلفه، تصاویر دگرسانی‌های مرتبط با این کانی‌ها تهیه گردید. مقایسه این تصاویر با تصاویر حاصل از ترکیب رنگی کاذب و نسبت‌گیری باندی نشان‌دهنده سازگاری نتایج حاصل از این روش‌ها با یکدیگر است (شکل ۸). با این حال، دگرسانی‌های سریسیتی و سیلیسی به دلیل گسترش مکانی محدود و کوچک‌بودن ابعاد سلول‌های تصویر به‌آسانی از یکدیگر تفکیک‌پذیر نیستند.

با توجه به اینکه باند ۴ برای کانی مسکویت دارای بیشترین بازتاب و باند ۶ دارای بیشترین جذب است، مقایسه بارگذاری‌های مختلف در این دو باند نشان داد که بارگذاری باند ۴ در مؤلفه ۳ دارای مقدار  $818975/0$  و بارگذاری باند ۶ در مؤلفه ۳ دارای مقدار  $349949/0$  است. به این ترتیب، مؤلفه سوم (PC3)، به عنوان مؤلفه مناسب برای به‌نمایش درآوردن دگرسانی سریسیتی انتخاب شد. برمبانی بیشترین بازتاب و جذب طیفی به‌وسیله کانی‌های کائولینیت، کلریت، کلسیت و اکسیدهای آهن در باندهای مختلف، ضرایب مربوط به سهم اطلاعات انتقالی هریک از باندها در مؤلفه‌های مختلف آنالیز مؤلفه‌های اصلی برای این

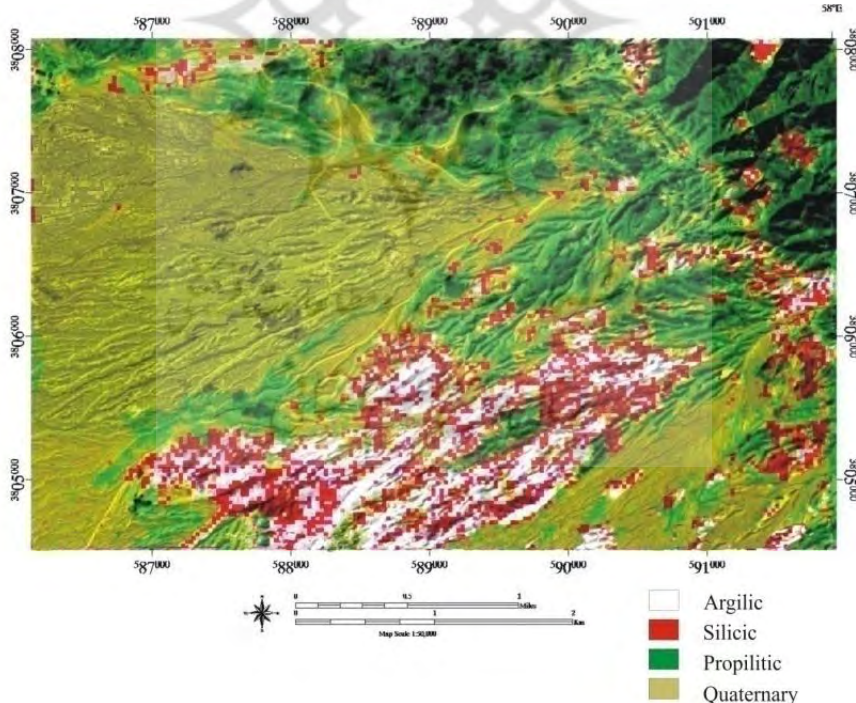


شکل ۸. بارزسازی مجموعه‌های دگرسانی‌ها برپایه آنالیز مؤلفه اصلی. الف) دگرسانی سریسیتی، ب) دگرسانی رسی، پ) دگرسانی پروپیلیتی، ت) دگرسانی پروپیلیتی و سنگ‌آهک‌های کرتاسه ناشی از رخداد کلسیت. کلیه دگرسانی‌ها بهرنگ تیره بارز شده‌اند.

نمونه های صحرایی تهیه شد و طبقه بندی دگرسانی ها با استفاده از الگوریتم حداکثر احتمال صورت گرفت. ارزیابی صحت طبقه بندی با استفاده از باقی مانده نمونه های صحرایی - که در فرایند طبقه بندی وارد نشده بودند - انجام شد. نتایج طبقه بندی نشان دادند که دگرسانی های سیلیسی و سریسیتی که گسترش مکانی محدودی دارند، به دلیل کوچک بودن انبعاث سلول های تصویر ( $30$  متر)، در تصویر نهایی تفکیک پذیر نیستند. با این حال، سنگ های آذرین اسیدی (واحده ای  $Ea$  و  $Edt$ ) به دلیل گسترش وسیع در سطح منطقه و رفتار طیفی مشابه با دگرسانی سیلیسی، به رنگ قرمز بارز سازی شدند (شکل ۹). دگرسانی پروپیلیتی که گسترش مکانی زیادی در منطقه دارد، با رنگ سبز بارز سازی شد. گستره مکانی دگرسانی رسی با رنگ سفید و رسوبات کواترنری با رنگ سبز مایل به زرد بارز سازی شدند (شکل ۹).

#### ۴-۴- طبقه بندی تصاویر

طبقه بندی تصاویر یکی از پر کاربرد ترین روش های استخراج اطلاعات به کمک رایانه است (Fatemi, 2006) که به دو روش نظارت نشده و نظارت شده انجام می شود. روش طبقه بندی نظارت نشده صرفاً منکی بر اطلاعات تصویر است و کاربر در کل فرایند دخالتی ندارد، اما در روش طبقه بندی نظارت شده، افزون بر تصاویر ورودی نیاز به مجموعه ای اطلاعات جانبی در مورد منطقه و کلاس های موردنظر است و دخالت عامل انسانی در آنها اجتناب ناپذیر است (Sabins, 1999). در منطقه مطالعه شده، طبقه بندی داده های سنجنده آستر به روش طبقه بندی نظارت شده و با استفاده از الگوریتم حداکثر احتمال<sup>۱</sup> انجام شد. برای این منظور، با توجه به بررسی های صحرایی و دگرسانی های تعیین شده در نمونه ها، تعداد ۵ رد شامل دگرسانی های سیلیسی، سریسیتی، رسی و پروپیلیتی و نیز رسوبات کواترنری تعیین شد. نمونه های تعیینی با استفاده از بخشی از



شکل ۹. تصویر حاصل از طبقه بندی نظارت شده که در آن دگرسانی سیلیسی (قرمز)، دگرسانی رسی (سفید)، دگرسانی پروپیلیتی (سبز) و رسوبات کواترنر (سبز مایل به زرد) بارز سازی شده اند.

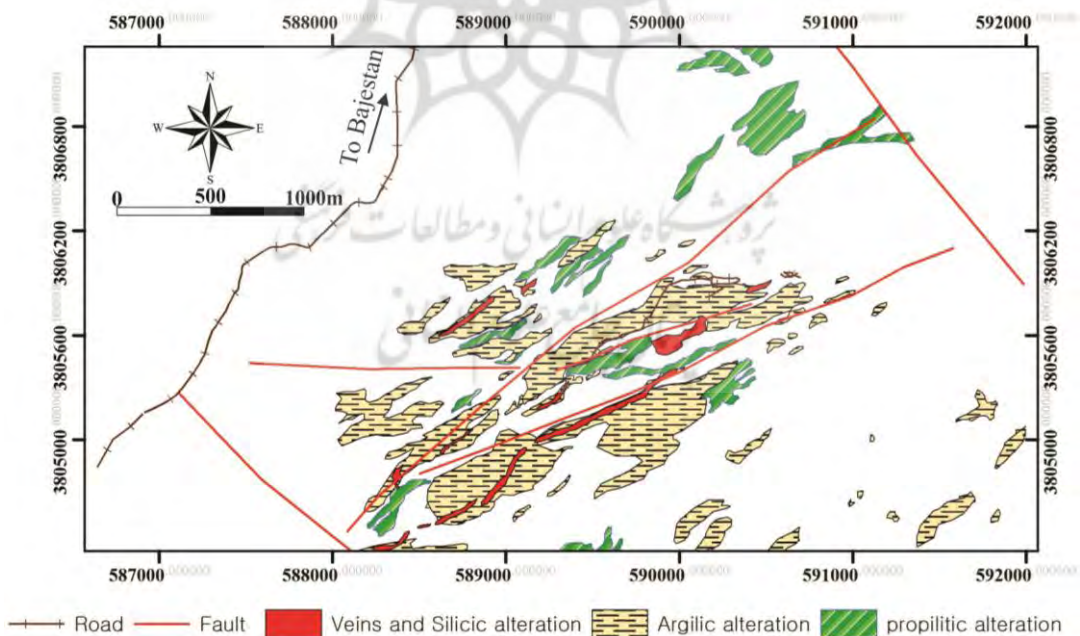
1. Maximum likelihood

(et al., 2010). به این ترتیب، میزان صحت و قابلیت اعتماد به نتایج حاصل از فرایندهای طی شده، تعیین شد و اعتبار روش به کار گرفته شده ارزیابی گردید. برای این منظور پس از مقایسه داده های واقعی با نتایج حاصل از تجزیه های طیفی و با استفاده از نمونه های شاهد به دست آمده که مانند نمونه های تعلیمی آند ولی در طبقه بندی وارد نشده اند، و به کمک روش های آماری، عمل بررسی صحت صورت گرفت. براساس محاسبه ماتریس آنالیز صحت، دقت آشکار سازی و طبقه بندی با استفاده از مؤلفه های آنالیز مؤلفه اصلی برای منطقه مطالعه شده حدود ۸۷ درصد و ضریب کاپا برابر  $0.4473 \pm 0.0473$  تعیین شد (جدول ۲). این محاسبات برای تصاویر حاصل از نسبت گیری باندی نشان دهنده صحت ۸۹ درصد و ضریب کاپا برابر  $0.6227 \pm 0.0422$  است (جدول ۲). براساس این نتایج، طبقه بندی تصاویر حاصل از نسبت گیری باندی در مقایسه با سایر روش ها کارایی بیشتری دارد و نتایج آن با واقعیت همخوان تر است.

#### ۴-۵- تهییه نقشه دگرسانی

نقشه دگرسانی سامانه مطرآباد برپایه تصاویر حاصل از روش های دور سنجی و تلفیق آنها با داده های صحرایی و آزمایشگاهی در سامانه اطلاعات جغرافیایی تهییه شد (شکل ۱۰). در این نقشه، دگرسانی رسی گسترش مکانی نسبتاً وسیعی در بخش مرکزی منطقه و به ویژه در پیرامون رگه های کوارتزی دارد. براساس بررسی های صحرایی این دگرسانی بر اثر معیان بخارات داغ (Ahmadi, 2011) در بخش های کم عمق و حاشیه ای سامانه گرمابی مطرآباد پدیده آمده است، که وجود شواهد جوشش مؤید آن است. دگرسانی پروپیلیتی به طور عمده در بیرونی ترین بخش های سامانه گرمابی و مرتبط با سنگ های آتش فشانی حد و سطح بروز می یابد. دگرسانی سیلیسی کمترین گسترش مکانی را دارد و بیشترین شدت را در اطراف رگه ها نشان می دهد.

برای ارزیابی روش های دور سنجی به کار گرفته شده در این پژوهش از روش آنالیز صحت<sup>۱</sup> استفاده شد (Saghafi



شکل ۱۰. نقشه توزیع مکانی مجموعه های دگرسانی در سامانه مطرآباد. دگرسانی سیلیسی گسترش محدودی دارد.

جدول ۲. ماتریس‌های آنالیز صحت برای مقایسه نتایج حاصل از روش‌های آنالیز مؤلفه اصلی و نسبت‌گیری باندی با نتایج صحرایی

طبقه‌بندی	کوارتز	رسوبات کواترنری	کائولینیت	کلریت- کلسیت	تعداد هر رده
کوارتز	۱۳	۲۲۰	۴۰	.	۲۷۳
رسوبات کواترنری	۰	۹۱۰۴	۰	۱۳	۹۱۱۷
کائولینیت	۳	۵۱	۱۱۵	.	۱۶۹
کلریت- کلسیت	۲۲	۹۲۰	۷۳	۷۳	۱۰۱۵
تعداد کل	۳۸	۱۰۲۹۵	۱۵۵	۸۶	۱۰۵۷۴
دقت کل =	٪۸۷ (۹۳۰۵/۱۰۵۴۷)		(الف)	ضریب کاپا = ۰/۴۴۷۳	
طبقه‌بندی	کوارتز	رسوبات کواترنری	کائولینیت	کلریت- کلسیت	تعداد هر رده
کوارتز	۰	۱۹	۹۵	.	۱۱۴
رسوبات کواترنری	۳۰	۱	۲۱	۱۶۴۴	۱۶۹۶
کائولینیت	۰	۲۲	۱۱۱	.	۱۳۳
کلریت- کلسیت	۱۲۱	۲	۷	۵۹	۱۸۹
تعداد کل	۱۵۱	۴۴	۲۳۴	۱۷۰۳	۲۱۳۲
دقت کل =	٪۸۸/۹ (۱۸۹۵/۲۱۳۲)		(ب)	ضریب کاپا = ۰/۶۸۲۷	

درآوردن همزمان بیش از یک باند روی سامانه پردازش دارای اهمیت زیادی است و اطلاعات کامل‌تری را در اختیار قرار می‌دهد. بررسی این روابط اغلب با استفاده از تصاویر ترکیبی رنگی انجام می‌شود. در ساخت ترکیب‌های رنگی بهتر است از باندهای با کمترین همبستگی استفاده شود. براساس یافته‌های این پژوهش، تفکیک مناطق دگرسانی از مناطق غیردگرسان و آبرفت‌های عهد حاضر به روش ترکیب رنگی کاذب تصاویر آستر و ترکیب نسبتی ( $4/5$ ،  $4/8$ ،  $4/9$ ) ممکن است. این روش برای بازناسی و جدایش دگرسانی‌های رسی و سریسیتی از دگرسانی پروپیلیتی از باندهای RGB (۸۶۴) به کار گرفته شد. افزون بر این، با توجه به شدت بازتاب و جذب کانی‌ها در باندهای خاص از روش نسبت‌گیری باندی (CLI و KLI) در تفکیک مناطق دگرسانی استفاده شد، که با یافته‌های صحرایی هم‌خوانی دارد. پژوهشگرانی چون معصومی و رنجبر (2011) و نینومیا (2003)، از این روش‌ها در بررسی مجموعه‌های دگرسانی و بازسازی مناطق دگرسانی در کانسارهای پورفیری استفاده کردند.

## ۵- نتیجه‌گیری

براساس بررسی‌های کانی‌شناسی، کائولینیت، سریسیت، کلریت و اپیدوت از مهم‌ترین کانی‌های حاصل از دگرسانی گرمابی بهشمار می‌آیند. این کانی‌ها بر مبنای خصوصیات طیفی و با استفاده از روش‌های مختلف دورسنجی از یکدیگر تفکیک شدند، که با نتایج حاصل از مطالعات (Goetz et al., 1985) همخوانی دارد. براساس مطالعات بوردم (1993)، دامنه طیفی امواج فروسرخ با طول موج کوتاه (SWIR) کارایی بالایی در بارزسازی کانی‌های هیدروکسیلدار، سولفات‌ها و کربنات‌ها دارد. بنابراین، استفاده از تصاویر ماهواره‌ای آستر (۱۴ باند) می‌تواند یکی از گزینه‌های مطلوب در بازناسی مجموعه‌های دگرسانی و تعیین گسترش مکانی هاله‌های دگرسانی باشد.

تصاویر ماهواره‌ای غالباً فرمت چندباندی دارند و بررسی داده‌های یک باند نمی‌تواند اطلاعات کافی در اختیار کاربران قرار دهد. بنابراین، آگاهی از روابط بین طول موج‌های مختلف برای شناسایی عوارض و بهنمایش

## ۶- منابع

- Abdi M., Karimpour M., Najafi A., 2010, **Spectral Angle Mapping Method to Determine the Optimal Spectral Angle (SAM) Hydrothermal Alteration Minerals Identified with Regard to the Overprint Alteration on Kouh Shah, South Khorasan**, In proceeding of the. 18th Conference of crystallography and mineralogy of Iran, PP. 630-636.
- Abrams M.J., Brown L., Lepley R., Sadowski P., 1983, **Remote Sensing for Porphyry Copper Deposits in Southern Arizona**, Economic Geology, 78, PP. 591° 604.
- Ahmadi M.H., 2011, **Hydrothermal Alteration and Base and Precious Metals Mineralization in the Motrabad Region, Southwest of Bajestan: based on mineralogical, Geochemical and Remote Sensing Data**, Unpublished M.Sc. Thesis, Golestan University 120p.
- Azizi H., Tarverdi M.A., Akbarpour A., 2010, **Extraction of Hydrothermal Alterations from ASTER SWIR data from East Zanjan**, Northern Iran, Advances in Space Research, 46, PP. 99-109.
- Azmi H., Hadizadeh M., 2009, **Geological Map of Nian District (1:5000)**, Geological Survey of Iran, Northeast Territory.
- Azmi H., Safari M., 2004, **Report of Systematic Geochemical Exploration on Taherabad (1:100000)**, Geological Survey of Iran, Northeast Territory, 138p, Unpublished.

برای حذف یا کاهش داده‌های تکراری و فشرده‌کردن مجموعه داده‌های چندطیفی در یک دستگاه مختصات جدید، از روش آنالیز مؤلفه اصلی استفاده شد. این روش، در تشخیص مرز بین مناطقی که در تصاویر ترکیب رنگی و نسبت‌گیری باندی حاصل از باندهای خام قابل تشخیص نیستند، یا در مناطق کوچکی که از نظر طیفی کاملاً متفاوت از کل تصویرند (مانند پوشش‌های گیاهی و Vincent, 1997; مناطق دگرسانی) کاربرد دارد (Ranjbar, 2010). براساس نتایج حاصل از این روش که برمبانی آنالیز صحت دارای دقت بیش از ۸۰٪ درصد است، نقشهٔ توزیع مکانی مجموعه‌های دگرسانی تهیه شد. مقایسهٔ انواع دگرسانی‌های بازناسانی شده از روش‌های دورسنجی و مجموعه‌های دگرسانی‌های تعیین شده برمبانی مطالعات صحرایی و آزمایشگاهی، نشان‌دهندهٔ انطباق مناسب نتایج این روش‌ها با یکدیگر است. البته باید توجه داشت که روش‌های دورسنجی به رغم کاستن از هزینه‌ها و سرعت‌بخشی به شناسایی مناطق دگرسانی و به نقشه‌درآوردن آنها، فقط در مناطقی که وسعت مناطق دگرسانی از ابعاد سلول‌های تصویر بزرگ‌تر است، دقت کافی دارند. برای مثال، در منطقهٔ مطالعه‌شده، جداسازی دگرسانی‌های پروپیلیتی و رسی در مقایسه با دگرسانی‌های سریسیتی و سیلیسی به خوبی انجام شد، که دقت بالایی نیز دارد. برخلاف کانسارهای پوروفیری یا سایر کانسارهای دارای مناطق دگرسانی گستره (Azizi et al., 2010)، روش‌های نسبت‌گیری باندی و آنالیز مؤلفه اصلی عمدتاً در مراحل اولیه اکتشاف کانسارهای اپیترمال کارابی خوبی دارند. به این ترتیب، با توجه به گسترش محدود هاله‌های دگرسانی گرمابی در کانسارهای نوع اپیترمال، استفاده از تصاویر ماهواره‌ای جدید و دارای قدرت تفکیک بالا در بارزسازی هرچه دقیق‌تر مجموعه‌های دگرسانی و هاله‌های مربوط به آنها ضرورت دارد.

- Azmi H., Safari M., 2006, **Geology Map Report of Motrabad (Southwest of Bajestan) on the Scale of 1:25000**, Geological Survey of Iran, Northeast Territory, 41p., Unpublished
- Bedini E., 2011, **Mineral Mapping in the Kap Simpson Complex, Central East Greenland, Using HyMap and ASTER Remote Sensing Data**, Advances in Space Research, 47, PP. 60-73.
- Boardman J.W., 1993, **Automated Spectral Unmixing of AVIRIS Data Using Convex Geometry Concepts**, Airborne Geoscience workshop, 1, PP. 11-14.
- Dehghani M., Durocher C., Gingerich J., 2005, **Alteration Extraction Using Remote Sensing Data for Mineral Exploration**, Conference of MapIndia, New Delhi.
- Fatemi Nasrabadi S. B., 2006, **Training of ENVI Software**, National Cartographic Center (NCC), Research Institute of NCC Publishing, 150p.
- Galvao L.S., Filho R.A., Vitorello I., 2005, **Use of ASTER Short-wave Infrared Bands for the Spectral Discrimination of Hydrothermally Altered Materials: Central Mexico**, Int. J. Remote Sensing 19, PP. 1981° 2000.
- Goetz A.F.H., Vane G., Solomon J.E., Rock B.N., 1985, **Imaging Spectrometry for Earth Remote Sensing**, Science, 228, PP. 1147-1153.
- Gupta R.P., 2003, **Remote Sensing Geology**, Second edition, Berline: Springer Verlag.
- Karimpour M., Saadat S., Ashoori A.E., 2005, **Geological map of Taherabad (1:100000)**, Geological Survey of Iran.
- Masoomi F., Ranjbar H., 2011, **Mapping of the Alteration Zones with Using of ASTER Images And ETM Sensor at the Northern Half of the Geological Map of Baft (1:100000)**, Journal of Earth Sciences, 79, PP. 121-128.
- Ninomiya Y., 2003, **A Stabilized Vegetation Index and Several Mineralogic Indices Defined for ASTER VNIR and SWIR Data**, International Geoscience and Remote Sensing Symposium (IGARSS'03), 3, PP. 1552° 1554.
- Ranjbar N., Ranjbar H., 2010, **Gypsum Evaporite Minerals Identified Using Principal Component Analysis and Mapping Data on the Thermal and Non-thermal Sensor ASTER in Desert Sirjan Region**, In proceeding of the 18th Conference of crystallography and mineralogy of Iran, PP. 432-437.
- Rowan L.C., Schmidt R.G., Mars J.C., 2006, **Distribution of Hydrothermally Altered Rocks in the Reko Diq**, Pakistan mineralized area based on spectral analysis of ASTER data, Remote Sensing of Environment, 104, PP. 74-87.
- Sabins F.F., 1999, **Remote Sensing for Mineral Exploration**, Ore Geology Reviews, 14, PP. 157-183.
- Saghafi M., Rezaee moghaddam M.H., 2010, **Evaluate the Performance of Three**

**Different Methods for the Detection of Image Alterations Using ETM (Shahkuh Northern Slopes of the Southwest of Birjand),** In proceeding of the 14th meeting of Geological Society of Iran.

Sojdehei M., Jafari M.R, Eraj R., 2007, **Preliminary Exploration of Gold and Associated Elements Using Remote Sensing Data in Firoozabad - Ardabil Province,** In proceeding of the 11th meeting of Geological Society of Iran, PP. 706-719.

Tommaso I.D., Rubinstein N., 2007, **Hydrothermal Alteration Mapping Using ASTER Data in the Infiernillo Porphyry Deposit,** Argentina, Ore Geology Reviews, 32, PP. 275- 290.

Vincent R.K., 1997, **Fundamentals of Geological and Environmental Remote Sensing,** Prentic Hall, 366pp.

Yousefan Najafabadi M., Bahroodi A., Fathiyanpoor N., 2010, **Ditection of Alteration Halos of Hydrothermal Alteration in the Index from the Copper Cloudy with Data ASTER,** In proceeding of the 28th conference of Earth Sciences, PP. 100-112.

Zhang X., Pazner M., Duke N., 2007, **Lithologic and Mineral Information Extraction for Gold Exploration Using ASTER Data in the South Chocolate Mountains (California),** ISPRS Journal of photogrammetry & Remote sensing, 62, PP. 271-282.

پژوهشگاه علوم انسانی و مطالعات فرهنگی  
پرستال جامع علوم انسانی